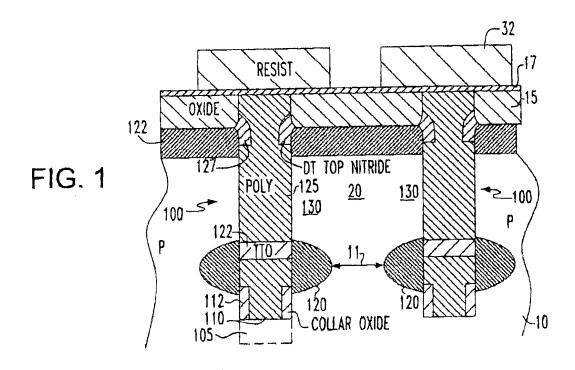
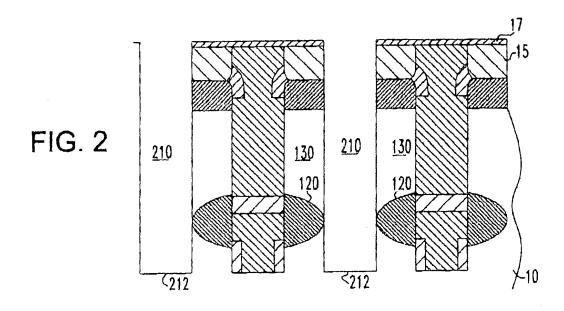
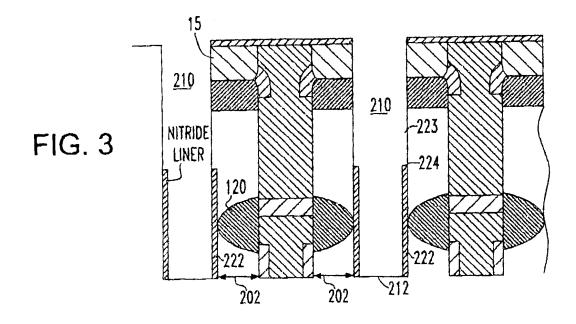
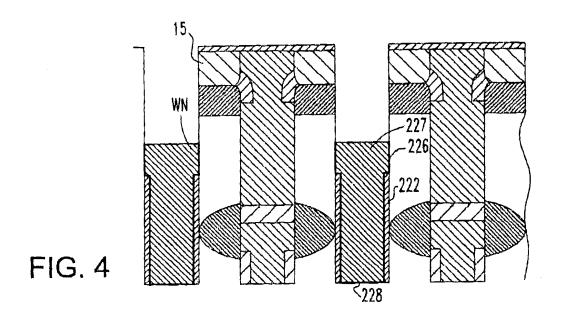
1/3 R. Divakaruni, et al. (JPA) FIS920030007US1









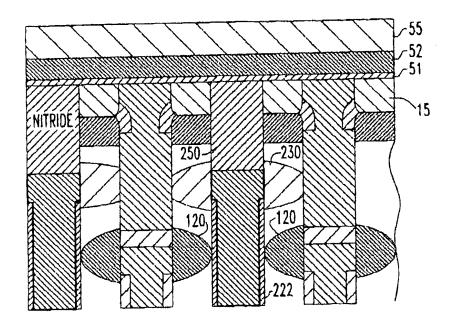


FIG. 5

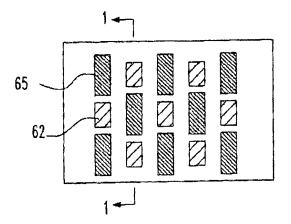


FIG. 6